

# 强力旋压及其应用

陈适先 编



国防工业出版社

# 强力旋压及其应用

## (国外文献综述)

陈适先 编

唐念萱 校



国防工业出版社

强力旋压是一种借助于金属的塑性变形而成形的先进工艺方法。这种工艺方法早先在国外民用工业中被采用，而近十年来，又在国外航空工业中得到了广泛应用。本书是根据有关国外文献编写而成的，内容共包括概述、基本理论、机床、工艺装备、加工过程及实例等六章。在第二章中侧重于介绍强力旋压的基本塑性理论；在第五章中则侧重于实际应用并汇集了可供参考的试验数据。在第三章与第六章中分别列出了三十一台强力旋压机床与三十六种用强力旋压加工的航空零件和民用产品的实例作为参考。

在编写过程中，承北京航空学院唐柴锡，馮厚植等同志提供资料并校阅指正，特此表示感谢。

### 强力旋压及其应用

陈适先 编

唐念萱 校

\*

国防工业出版社出版

北京市书刊出版业营业登记证字第074号

新华书店北京发行所发行 各地新华书店经售

国防工业出版社印刷厂印装

\*

850×1168 1/32 印张 5 1/2 140千字

1966年3月第一版 1966年3月第一次印刷 印数：0,001—2,700册

统一书号：15034·1102 定价：（科六）0.85元

# 目 录

第一章 概述 .....	5
§ 1.1 发展简史与基本过 程 .....	5
§ 1.2 特点与应用 .....	7
第二章 理論分析与試驗研究 .....	15
§ 2.1 模型 試驗 .....	15
§ 2.2 变形 力 .....	17
§ 2.3 材料的 可旋性 .....	44
第三章 机床設備 .....	51
§ 3.1 工艺要求与机床特 点 .....	51
§ 3.2 机床的性能与构 造 .....	52
第四章 工艺装备 .....	89
§ 4.1 主要装 备 .....	89
§ 4.2 机床 附件 .....	93
第五章 工艺过程 .....	95
§ 5.1 毛 坯 .....	95
§ 5.2 强力旋压过程 .....	100
§ 5.3 工件质量 .....	112
第六章 加工实例 .....	119
参考文献 .....	173

## 主要符号索引

$A$ —— 面积	$t_i$ —— 轧压深度
$B$ —— 宽度	$V$ —— 速度
$C$ —— 常数	$V_0$ —— 体积
$D$ —— 工件直径	$W$ —— 功
$D_p$ —— 旋轮直径	$W$ —— 功率
$e$ —— 实际应变	$\alpha$ —— 工件锥角
$F$ —— 旋压力	$\alpha_0$ —— 预成形锥角
$f$ —— 沿工件母线的进给	$\alpha_p$ —— 旋轮后角
$h$ —— 高度	$\beta$ —— 旋轮安装角
$I$ —— 应变速偏斜张量第二不变量	$\gamma$ —— 剪应变
$J$ —— 应力偏斜张量第二不变量	$\dot{\gamma}$ —— 剪应变速度
$K$ —— 系数	$\gamma_p$ —— 旋轮前角
$L$ —— 长度	$\epsilon$ —— 延伸应变
$m$ —— 系数	$\dot{\epsilon}$ —— 延伸应变速度
$n$ —— 主轴转速	$\eta$ —— 效率
$n_i$ —— 旋转圈数	$\mu$ —— 系数
$p$ —— 单位接触压力	$\rho$ —— 圆弧曲率半径
$R$ —— 工件半径	$\sigma$ —— 拉应力
$R_p$ —— 旋轮半径	$\sigma_b$ —— 强度极限
$r_p$ —— 旋轮圆角半径	$\sigma_{0.2}$ —— 屈服极限
$s$ —— 轴向进给	$\tau$ —— 剪应力
$s_{ij}$ —— 应力偏斜张量	$\tau_0$ —— 屈服点剪应力
$T$ —— 时间	$\psi$ —— 相对收缩率
$t$ —— 工件壁厚	$\psi_t$ —— 厚度收缩率
$t_0$ —— 毛坯壁厚	$\Delta$ —— 偏离正弦律程度

# 第一章 概 述

## § 1.1 发展簡史与基本过程

### 一、发展簡史

在噴气式飞机与火箭导弹制造业中，各种旋轉体零件的加工劳动量占有很大的比重。这些零件有噴气发动机的支承錐体、渦輪軸、尾噴口、机匣以及火箭发动机的鼻錐、儲油箱封头、环状壳体以及拉瓦尔噴管等零件。在其它軍事工业与民用工业中类似的产品也很多。

上述零件的傳統加工方法有，利用鍛鑄毛坯进行机械 加工，利用板材毛坯进行弯曲、焊接与成形或进行拉深等等。但是，这些傳統方法在不同程度上都存在着过多消耗原材料及加工工时的缺点。

近十年来，在国外航空工业中发展了一种效用卓著的利用金屬塑性变形成形的工艺方法——“强力旋压”，用这种方法可以較經濟地制造出优质的旋轉体零件。

普通旋压工艺是十世紀时在我国发明的，于十四世紀才傳入欧美。与普通旋压有某些相似的强力旋压工艺則最早是在欧洲(瑞典、德国)被用于民用工业。1952年美国普拉特惠特尼(Pratt Whitney)航空发动机公司从一件瑞典出品的小型民用产品得到启发，与洛奇西普来(Lodge Shipley)机床公司合作在1953年制成首批三台专用强力旋压机床，初次成功地将这种方法推行到航空产品的制造中。此后，这种方法就在美国各航空工厂得到了广泛的采用。

这种工艺方法的称呼較多。各家公司都給以不同的商业称呼，如洛奇西普来公司称之为“流动旋压”(Floturning)、辛辛納特

(Cincinnati) 公司称之为“液力旋压”(Hydrospinning)、赫福特 (Hufford) 公司称之为“旋转锻压”(Spinforging)，还有从加工的原理出发称之为“旋转挤压”(Rotary Extrusion)、“滚轧成形”(Roll Forming)、“剪切旋压”(Shear Spinning) 或“变薄旋压”(Выдавливание с утонением) 的。本文中采用在国内已较为通行的称呼——“强力旋压”。

## 二、基本过程

强力旋压的基本过程如图 1.1 所示。尾架的顶块 3 将毛坯 2 在心模 1 的顶端夹紧。心模、毛坯与顶块一起随机床主轴旋转。旋轮 5 按靠模板或导轨的预定轨迹移动，它与心模间保持着一定的间隙。旋轮施 250~350 公斤/毫米<sup>2</sup> 的高压于毛坯，使其逐点产生变形，靠紧心模（反旋时离开心模）而成为零件 4。

在锥形件强力旋压时，每点的变形对其他未变形部分的影响很小，变形后的工件突缘基本上保持变形前的原状，而工件壁厚变化则遵循对于强力旋压来讲是极为重要的一条基本规律——正弦律。正弦律的内容如下：在锥形件强力旋压中，变形后的工件材料厚度等于变形前的毛坯板材厚度与工件半锥角正弦值的乘积，即：

$$t = t_0 \sin \frac{\alpha}{2} \quad (1.1)$$

在毛坯设计与机床调整中，只有很好遵循这个规律，才能获得满意的结果，关于它的推导详见 § 2.1 所述。

按变形方式，强力旋压可分为正旋与反旋两种。正旋时，材料流动方向与旋轮前进方向相同，反旋时则相反。根据零件的形

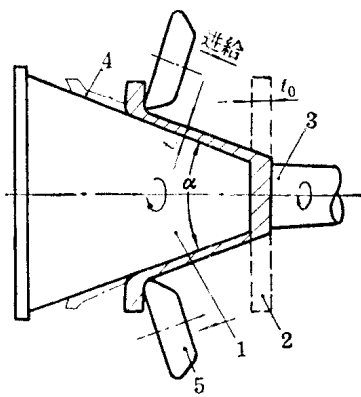


图1.1 强力旋压基本过程简图

1—心模；2—毛坯；3—尾頂块；  
4—零件；5—旋輪。

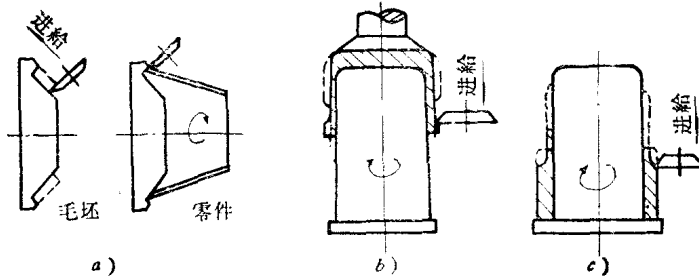


图1.2 正旋与反旋简图

a—锥形件反旋；b—筒形件正旋；c—筒形件反旋。

状，强力旋压可分为锥形件旋压、筒形件旋压和复合零件旋压三种。

锥形件的正旋与反旋见图1.1及1.2a。筒形件的正旋与反旋见图1.2b、c。

### § 1.2 特点与应用

#### 一、优点

与其它工艺方法相比较，强力旋压具有许多独特的优点。

1. 与普通旋压相比较 加工过程的区别在于：1）强力旋压时，毛坯突缘不产生收缩变形，因而不产生突缘起皱的现象，也就没有对毛坯几何尺寸（直径与厚度比）的相应限制；2）强力旋压时，零件厚度的变薄沿母线长度是有规律的和可以控制的；3）强力旋压时，旋转是沿零件外形作单向移动而不象普通旋压那样需作双向摆动，因此可以减少手工劳动而采用半自动工作循环。这样，普通旋压的方法通常局限于有色金属零件及变形程度较小的钢零件的制造，而强力旋压则不受此限，可以一次旋出相对深度较大的钢零件，所需工人技术水平较低，并大大减轻了手工劳动量。

2. 与冷冲挤相比较 加工过程的区别在于，强力旋压时变形是沿圆周方向逐点进行的，而冷冲挤时则是沿工件外形的整个截面上进行的。因此，冷冲挤时所需的变形力和零件径向截面的面

积成正比，所需挤压力很大，通常局限于有色金属及软钢的小零件制造，而强力旋压则不受此限。

3. 与锻铸毛坯的机械加工工件相比较 1) 强力旋压作为一种无切屑加工，可以大大节省材料消耗（有时达 80%）；2) 由于强力旋压后可以获得较高的内外表面光滑度和准确度，因而可减少镗、磨等工序。表 1.1 所示是英国不列斯托席德勒 (Bristol Siddley) 公司用普通锻造后机械加工及用强力旋压两种方法加工四种典型零件的成本比较。

4. 与板材毛坯弯曲焊接成形相比较 强力旋压时：1) 加工工时可大为减少，可节省焊前准备、焊后打磨、焊缝检查等许多工序；2) 可以获得不带焊缝的整体零件。

5. 与板材深拉深相比较 在强力旋压时：1) 工艺装备可大为简化，一些原需 6~7 次拉深的零件可一次旋出，对于用高强度材料制造的，直径在 1 米以上，深度直径比在 3 以上的复杂零件，有时根本不可能用拉深法制造，但却可以很方便的用强力旋压制造出来；2) 强力旋压机床比能力相同的深拉深机床价格约便宜一半，其构造大为简化，维护也较容易；3) 旋压心模的成本只有拉深模的十分之一，而且心模使用寿命也比较长。

美国某公司曾就这两种方法进行了成本比较：在制造某直径为 305 毫米的软钢零件时，若用拉深方法制造 5 个零件，单件成本合 381.25 美元；制造 1000 件，合 3.21 美元；用强力旋压时，则分别为 54.65 及 5.15 美元；在零件数量为 300 件时，价格相等。又在制造某不锈钢锥形件时，用拉深法制 5 件，单件成本为 1522.5 美元；制 5000 件，为 3.16 美元；采用强力旋压，则分别为 78.17 及 2.10 美元。由此可见，在一定的批量下，强力旋压在成本上比深拉深是大为有利的。

6. 强力旋压所制成的产品质量较好 1) 可以获得壁厚均匀，不带焊缝或带有被强化了的焊缝的整体空心结构，从而使零件（特别是承力零件）的工作更为可靠。在美国 JT-3D 型喷气发动

表1.1 强力旋压与普通方法加工的成本比较<sup>[46]</sup>

四种典型零件用普通方法和强力 旋压加工时的成本比较		板	轴	轴 承 隔 板
半成品毛坯				
材料和机械	14.2	Φ625	Φ224	395
加工成本(英镑)	20.5		12.0	3.40
强力旋压成品				
材料、机械 加工和强力旋 压成本(英镑)	Φ625 76.1	Φ217 9.90	Φ510 Φ1070	38 Φ280
初裁成本 (英镑)	20.8	12.6	3.50	9.4
普通锻造	生产成本 (英镑)	6.00	2.50	1.10
由于降低了机械加工余量进一步 节省的机械加工时间(小时)	5	6	14	25

机試車中，曾发生过燃燒室外套与安装边对接焊縫处裂紋的問題，后来就是采用强力旋压的方法，从結構上消除了焊縫而使这个問題得到了解决。对火箭和导弹的高压容器，用强力旋压消除焊縫或提高其强度的优点就更为一些設計師所公认；2）在强力旋压时，金属晶粒被延伸变长并大大細化，从而使材料的强度、硬度有显著提高。这样也就有可能使某些不能接受热处理强化的材料在經過强力旋压后，机械性能提高；这对于制造某些长而薄的零件也很有利，可以免去强化工序，从而避免零件的畸变。如果零件还需保持一定的延伸率，则可在强力旋压后进行退火处理，这时抗拉强度还保留百分之几十的增加量；3）經過軋压后，工件表面硬度增加，从而使疲劳强度得到提高，这个优点对于具有切口敏感性的材料尤为显著；4）各种难加工金属（钛、鉬、鎢等）可以用加热强力旋压的方法来加工，且其材料的高溫性能通过强力旋压得到改善；5）通过强力旋压可达到較高的准确度和表面光滑度。在强力旋压后，錐体内表面紧紧靠胎，回彈很小，其尺寸与表面光滑度基本上与心模相一致。又由于工件厚度較均一，因而外徑准确度亦較高。外表面的光滑度是靠旋輪軋压而得，比用切削加工所得的表面光滑度亦有所提高。一般來說，所制錐形件可以达到4級精度和 $\nabla\nabla 6 \sim \nabla\nabla 8$ 的表面光洁度；6）在强力旋压时，通过材料逐点的剧烈变形，毛坯中的任何夹渣、杂质和夹层都会暴露出来，而不至带到产品中去造成危害。这样，加工过程本身就对毛坯材料进行了檢查。当毛坯为焊接件时，强力旋压除可改善焊縫质量外，还可起檢驗焊縫的作用，不合格的焊縫会在旋压过程中破裂；7）有时，用强力旋压代替了原有加工方法后还可以使复合构件变为整体零件，从而提高了强度、減少了零件数量，并減輕了产品重量。

## 二、缺点与限制

与任何加工方法一样，强力旋压工艺在应用中也有一定的局限性。

1. 对产品的形状尺寸有一定的限制，例如旋后要留下一厚底，对于板金件來說，如果底部尺寸太大，材料利用就不經濟。

2. 对产品的批量有一定的限制，由于在强力旋压时需要一套保持协调的心模及靠模板，而且工序調整时间較长，因此用这种方法加工零件的生产成本在单件試制时就不如在小批和中批生产时那么有利。又由于旋压工时一般大于冲压工时，因此，在大量生产时，有时还是以采用深拉深的方法在經濟上更为有利。

根据美国太阳 (Solar) 公司的統計，对于該公司当零件 批量为 50~50000 件时，采用强力旋压是合算的。

### 三、应用情况

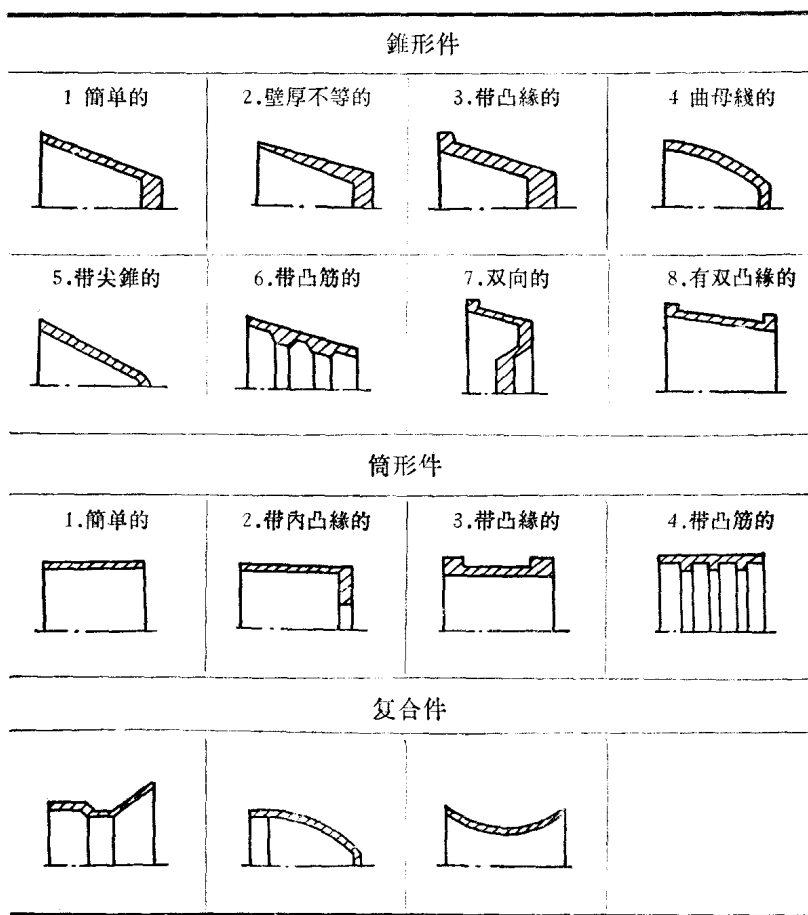
随着强力旋压工艺的发展，可用它制造的各种零件也越来越多。如前所述，强力旋压零件的外形可分为錐形、筒形以及复合形状三类。每类又包括以下各种不同的結構单元（見表 1.2）：

1. 壁厚沿母線均匀变化或保持不变；
2. 母線为直線或曲線；
3. 尾端帶凸緣或不帶凸緣；
4. 内表面帶凸筋或不帶凸筋；
5. 头部为平面或尖錐等等。

現在，几乎美国所有老牌航空公司，如普拉特惠特尼、福特 (Ford)、萊康敏 (Lycoming)、太阳、通用电气 (General Electric)、馬夸特 (Marquardt)、波音 (Boeing) 等公司以及一些新兴的火箭导弹制造公司都已装备了强力旋压专用机床并用于生产。最先采用这种工艺的普拉特惠特尼公司在 1956 年就成立了独立的工段，并在 60 年以前就在 8 台专用机床上加工了 22000 件航空产品。在同時間內，洛奇西普来机床公司在其自己制造的强力旋压机床上生产了 100 万个零件。目前美国最大已生产出直徑达 3.9 米的大型导弹零件，英国生产的达 1.8 米，法国生产的达 2 米。

根据已公开的資料，用强力旋压制造的航空零件包括美国大

表1.2 用强力旋压制造的典型结构简图



量生产的主要喷气发动机 J57, J79 等机种的整流罩、燃烧室锥体、压气机外壳、压气机锥体、涡轮轴、尾喷口等零件；以及像北极星、鲍马克、大力神、小约翰等导弹的壳体、喷管、贮箱封头等零件，在所制产品中还包括美国第一颗人造卫星探险者号的鼻锥。图1.3 与图 1.4 所列是已在文献上公开的一些航空零件的尺寸简图。

强力旋压在舰艇、军械、化学、无线电通讯、汽车、日用品制造业中也有广泛应用。用强力旋压制造的产品还有潜水艇渗透密封环、鱼雷外壳、军械的锥头、波纹管的毛坯、电视锥、光学

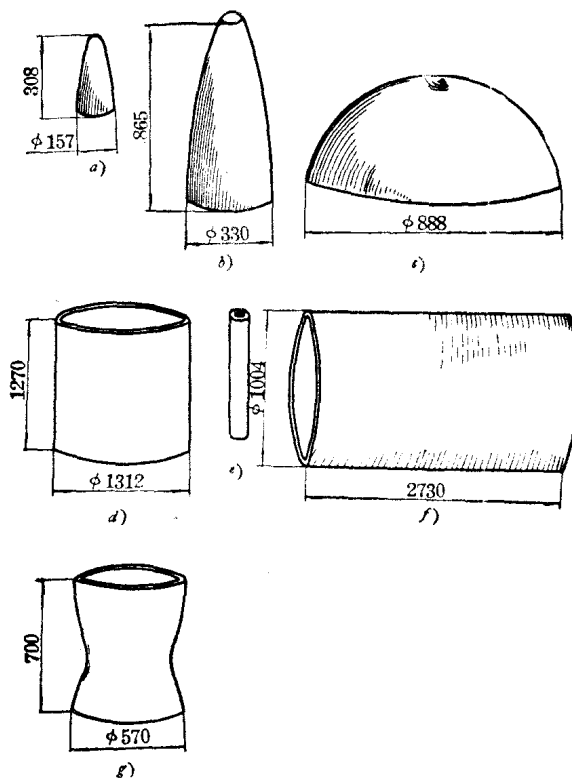


图1.3 几种火箭导弹的强力旋压零件（尺寸为毫米）  
 a—探险者1号卫星鼻锥；b—大力神导弹鼻锥；c—北极星导弹的封头；d—北极星导弹燃烧室；e—小约翰导弹发动机壳体；  
 f—民兵导弹发动机匣；g—鲍马克导弹喷管。

透镜反射器、液压缸筒、汽车轮盘以及各种量杯、漏斗、餐具和各种容器等等。

用强力旋压还可以弥补板材轧制能力的不足，制造超宽度的板材，其方法是用强力旋压将圆筒形焊接毛坯旋长，然后沿母线方向切开展平即可。美国已用此法制成了宽7.5米、长9.1米的宽板。法国已用此法生产了宽6.2米、长2.4米的宽板。

强力旋压的发展趋势表现在所制造的产品上是，尺寸越来越

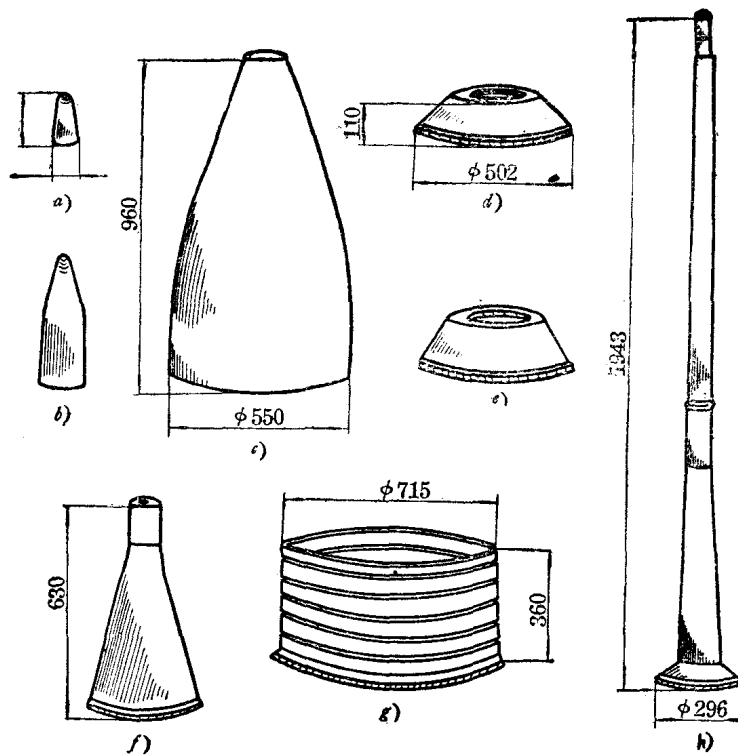


图1.4 几种喷气式飞机与发动机的强力旋压零件（尺寸为毫米）

- a —某发动机燃烧室锥体；b —A4D、F105飞机炸弹架头锥、尾锥；
- c —B58飞机发动机罩；d —某发动机压气机锥体；e —某发动机压气机锥体；f —某发动机涡轮主轴；g —某发动机压气机机匣；
- h —某发动机涡轮主轴。

大，形状愈来愈复杂，精度越来越高。美国正在准备制造旋压最大直径达6.5米的巨型强力旋压机。英国与法国的有关企业也纷纷准备添置更多的强力旋压设备。

总之，强力旋压这种有效的新工艺方法已经作为焊接、锻造、拉深、轧制等传统工艺的一种补充被肯定下来。

## 第二章 理論分析与試驗研究

### § 2.1 模型試驗

卡尔柏肖格路 (Kalpacioglu) 和阿維佐 (Avitzur) 等分別采用划座标网法和填孔法进行了錐形件强力旋压的模型試驗并对变形过程进行了觀察，其方法如下。

#### 一、划座标网法

这个方法是把銅的平板毛坯沿直徑方向剖开。在其中一件的剖面上划上座标网格，然后把两半鉚接复原，进行强力旋压。旋压后，在炉中熔去焊料，把两半分开，就可觀察到座标网格的变化（图 2.1）。

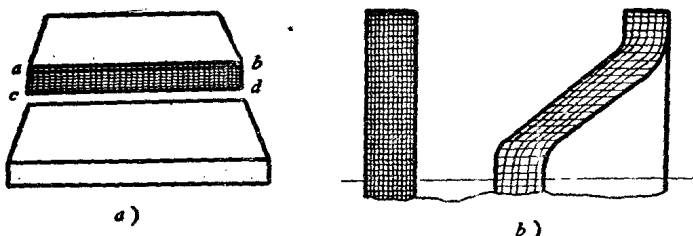


图2.1 用划座标网法进行模型試驗

a—毛坯； b—毛坯与試件的剖面座标网。

#### 二、填孔法

这个方法是在毛坯上沿直徑方向钻一排直徑为 0.7 毫米的小孔，其中填入材料与本体材料相同的許多小圆柱。在强力旋压后剖开試件，去掉填充物，就可觀察到小孔的变形情况（图 2.2）。

通过以上两种試驗，觀察到下列現象：

1. 在图 2.1 中，在毛坯剖面上与旋轉軸線平行的划線在变形后，除了靠近心模的內表面层有較大的歪扭外，其余部分，当工

件錐角較小时基本上仍保持平行；当工件錐角較大时，则近似平行于心模法綫方向；这反映在图 2.2 上，就是在小錐角时， $\alpha_z \approx$

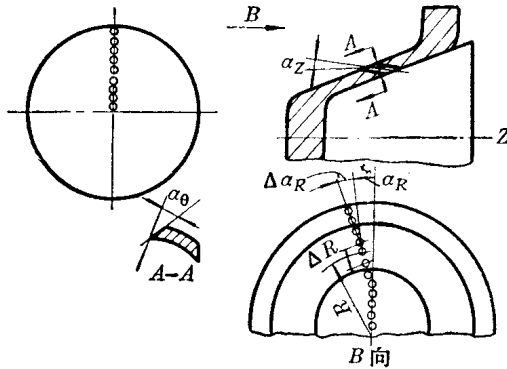


图2.2 用填孔法研究变形过程

a—毛坯；b—試件。

0，在大錐角时，  
 $\alpha_z \approx 90^\circ - \frac{\alpha}{2}$ 。

2. 毛坯剖面的中綫在变形后变为一条带有二个弯曲点的折綫，但中綫上各点的徑向位置保持不变。

3. 在图 2.1 中的 abcd 表面在变形后不再是一个平面，存在沿着工

件母綫繞 Z 軸的偏扭和沿着工件厚度上的偏扭。这反映在图 2.2 上，也就是  $\Delta\alpha_R$  与  $\alpha_\theta$  不等于零，但这些值都較小。

根据上述現象，可以証明 § 1.1 中所述强力旋压时必須遵循的基本規律——正弦律的正确性。

图 2.3 a 是工件錐角較大时的变形简图。在图中 a 点与 b 点的徑向位置在旋压前后是没有变化的。毛坯上厚  $t_0$ 、高  $\Delta R$  的矩形截面在变形后变为厚  $t$ 、高  $h_1$  的矩形截面。根据体积不变律，二者的面积应相等，于是

$$t_0 \Delta R = t h_1$$

但

$$h_1 = \frac{\Delta R}{\sin \frac{\alpha}{2}}$$

代入上式，可得正弦律

$$t = t_0 \sin \frac{\alpha}{2}$$